

慶應大学工学部

新井組

正員。八木 則男

深見 真一

1. まえがき

土が繰り返し圧縮を受けると、静的な場合に比べて、最大有効応力が同じであっても圧縮量は繰り返し回数とともに累積増加して大きくなる。したがって繰り返し荷重を受ける地盤の沉下計算には繰り返しによつてどの程度沉下が促進されるかを知る必要がある。1次圧縮試験による繰り返し圧縮を受け砂質土の圧縮特性については以前に詳しく調べ報告した。¹⁾ 今回はさらに砂質土についてさらにデータを加え、粘性土についても実験を行なつたので、その結果について報告する。

以前の報告にあひて得られた結果について略述するところである。

1) 1回目の載荷における有効圧縮応力 σ' と圧縮ヒズミ ϵ' との関係は $\epsilon' = \alpha \cdot \sigma'^\beta$ (1) で表わされる。砂の相対密度が小さくなれば、また、砂の種類が異なる場合でもその砂の圧縮性が大きくなるほどひひは大きく、 β は小さくなり、両者の関係が求められた。2) 除荷時にあひては繰り返し回数や砂の相対密度が変化しても、 σ' を対数にした場合、 σ' と ϵ' の関係は直線であり、これがの場合も平行となる。3) 繰り返し回数 N と残留圧縮量 ϵ_R との関係は $\epsilon_R = N/(a+bN)$ または $N/\epsilon_R = a+bN$ (2) で表わされる。砂の相対密度が小さくなれば、(1) と同様砂の圧縮性が大きくなれば、 a 、 b とも大きくなる。4) (2) 式より推定した N が無限大のときの残留圧縮量 $\epsilon_{RN \rightarrow \infty}$ と 1 回目の残留圧縮量 $\epsilon_{RN=1}$ の関係は砂の種類や相対密度とは無関係に一つの直線で表わすことができる。5) 繰り返し荷重中の上限を σ'_u 、下限を σ'_e とすると、 $\epsilon_{RN \rightarrow \infty}/\epsilon_{RN=1}$ と σ'_u/σ'_e の関係は σ'_u と σ'_e の種々の組合せに対しもう一つの曲線で表わすことができる。

2. 実験試料・実験装置・実験方法

実験に用いた砂の物性は、土粒子比重 $G_s = 2.64$ 、平均粒径 $D_{50} = 420 \mu$ 、均等係数 3.5、最大間隔比 $C_{max} = 0.881$ 、最小間隔比 $C_{min} = 0.312$ 、である。

一方粘土試料は大阪の深さ 57.5m ～ 58.5m の洪積層から採取したもので、 $G_s = 2.73$ 、液性限界 $W_L = 8.8\%$ 、塑性限界 $W_P = 39\%$ 、先行圧縮荷重 $P_c = 5.5 \text{ kg/cm}^2$ の不擾乱試料である。

実験は側方拘束の 1 次元圧縮によつて行はれた。試料の容器は砂に対しては内径 6.0cm、高さ 4.0cm の円柱形、粘性土に対しては標準圧密試験と同様のもので内径 6.0cm、高さ 2.0cm である。沉下は $1/100 \text{ mm}$ 精度のダイヤルゲージで測定した。この場合の粘土の 100% 圧密終了時間は正規領域ではいずれも数分である。

繰り返し載荷の方法は、所定の上限荷重 σ'_u まで段階的に載荷し、その後は下限荷重の σ'_e と仮間荷重を上下させた。この場合 σ'_u と σ'_e の間では段階的に荷重は分割しなかつた。砂においては 0.1 kg/cm^2 と 22.4 kg/cm^2 の範囲の種々の荷重の組合せを用いて σ'_u と σ'_e とし、一段階の載荷時間は 10 ～ 20 分まで、これは沉下が静止するのに必要な時間である。粘性土においては No.1 から No.6 までの 6 つの試料を行はれた。No.1 では $0.8, 1.6, 3.2, 6.4, 12.8 \text{ kg/cm}^2$ の 5 段階に分けて載荷し、その後は 12.8 kg/cm^2 のまま約 50 日間放置し、2 次圧密による沉下の測定を行はれた。No.2 ～ No.4 では 12.8 kg/cm^2 までを上記のように段階的に載荷し、 σ'_u として 12.8 kg/cm^2 、 σ'_e として各々 6.4 kg/cm^2 、 9.6 kg/cm^2 、 11.2 kg/cm^2 の範囲で繰り返し圧縮試験を行なった。この場合 σ'_u 、 σ'_e とともに粘土の初期の先行圧縮荷重 5.5 kg/cm^2 よりも大きい。同様に No.5 では σ'_u を 3.2 kg/cm^2 、 σ'_e を 1.6 kg/cm^2 、No.6 では σ'_u を 1.6 kg/cm^2 、 σ'_e を 0.8 kg/cm^2 として、 σ'_u までは段階的に載荷し、 σ'_u と σ'_e の間は 1 段階で載荷・除荷を行はれた。No.5、No.6 においては σ'_u 、 σ'_e は初期の先行荷重以下である。また 1 サイクルの時間は 48 時間で、繰り返し回数は 18 回である。

3. 実験結果と考察

砂については1.で述べた以前の結論1)~4)までを実験的に確認した。以前の結果5)では $\varepsilon_{RN \rightarrow \infty} / \varepsilon_{RN=1}$ と σ'_1 / σ_u' の関係はややはらつきが大きかったので、今回は図-1に示すように $\alpha \cdot \sigma'^{\beta} / \varepsilon_{RN \rightarrow \infty}$ と σ'_1 / σ_u' の関係で示すと、 σ'_1 と σ_u' の任意の組合せにもかかわらず、非常にばらつきが小さい関係が得られる。 $\alpha \cdot \sigma'^{\beta}$ は1回目の載荷における σ'_1 での圧縮ヒズミである。しかしこの関係ではやかましいときにはそれに対応するヒズミが非常に小さく σ_u' がりかなる場合でも図の縦軸がゼロになってしまうので都合が悪い。この図を利用するとときは、 σ'_1 がある程度大きくて、図-1の縦軸の値が0.5以上の場合が望ましいように思われる。この図を利用すれば、 σ'_1 と σ_u' の間で無限回の繰り返しが行はれたときの残留ヒズミ $\varepsilon_{RN \rightarrow \infty}$ は1回目の載荷時の圧縮特性かわかれれば推定できる。

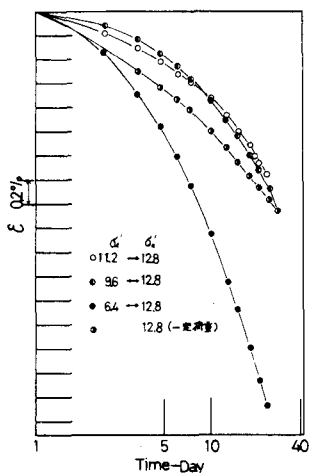


図-2 圧縮量と時間の関係

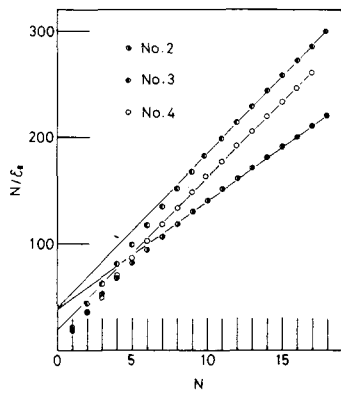


図-3 正規粘土の ε_R と N の関係

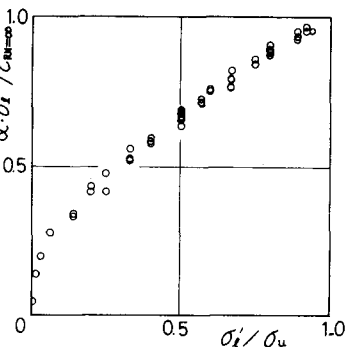


図-1 砂の $\alpha \cdot \sigma'^{\beta} / \varepsilon_{RN \rightarrow \infty}$ と σ'_1 / σ_u' の関係

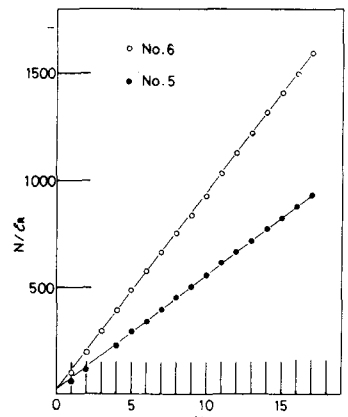


図-4 過圧密粘土の ε_R と N の関係

つぎに粘性土の結果について述べる。図-2は各荷重条件における沈下の進行状況を示している。すべて正規荷重の場合である。一定持続荷重と繰り返し荷重を比較すると、持続荷重と繰り返しの σ'_1 が等しく、繰り返しの場合は全時間の半分は σ'_1 より小さい σ'_1 が作用しているにもかかわらず、繰り返し荷重中の大きい場合は持続荷重よりも沈下の絶対量、沈下速度とも大きく、また繰り返し荷重中の小さい場合でも沈下速度は時間が経過すると持続荷重より大きくなっている。また σ'_1 と σ_u' が $11.2 kN/cm^2 \leftrightarrow 12.8 kN/cm^2$ と $9.6 kN/cm^2 \leftrightarrow 12.8 kN/cm^2$ の場合を比較すると、時間経過の早いときは前者の方か σ'_1 が大きいために、沈下量が大きくなっているが、時間の経過とともに後者の方か沈下量、沈下速度とも大きくなっている。いずれにしても時間が経過すると繰り返し荷重中の大きい方が沈下量、沈下速度とも大きくなるようである。

つぎに粘性土に対しても砂と同様に(2)式が成立するかを調べたのが図-3、(正規)図-4である。(過圧密)両図を比較すると、縦軸のスケールが異なるが、正規では N の小さいところでは直線からプロットがずれています。したがって図-3では(2)式が成立するとして係数 α 、 β を決定しても意味であるが、 $\varepsilon_{RN \rightarrow \infty}$ を求めるために N の大きなところでは(1)式が成立するとして、図-3の直線の勾配から推定した。同様に図-4から $\varepsilon_{RN \rightarrow \infty}$ を推定して、図-1と同様に図を粘性土について示すと図-5である。砂のように同一曲線上では表れせず過圧密比によって異なるようである。

4. あとがき：粘性土の沈下は時間の影響が大きいので、繰り返し周期に上記の特性がどのように影響を受けるか今後検討を期すばかり。

参考文献：1)ハ木他、砂の一次元圧縮について、第1回土質工学研究発表会、PP187~190

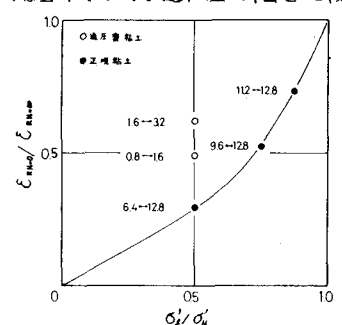


図-5 粘性土の $\varepsilon_{RN=0} / \varepsilon_{RN \rightarrow \infty}$ と σ'_1 / σ_u' の関係